

高等学校数学用書

天线及电波传播

原編者：北京邮电学院天线教研组

审校者：邮电学院天线及电波传播教材选编组



人民邮电出版社

高等学校教学用书

天 线 及 电 波 传 播

原编者：北京邮电学院天线教研组

审校者：邮电学院天线及电波传播教材选编组

人民邮电出版社

天 线 及 电 波 传 播

原编者：北京邮电学院天线教研组

审校者：邮电学院天线及电波传播教材选编组

出版者：人民邮电出版社

北京东四 6 条 13 号
(北京市书刊出版业营业登记证字第 048 号)

印刷者：邮电部北京邮票厂

发行者：新华书店

开本 850×1168 1/32 1961 年 8 月北京第一版
印张 9 16/32 页数 304 1961 年 8 月北京第一次印刷
印刷字数 253,000 字 印数 1—5,650 册

统一书号：15045·总1260—无323

定价：(10) 1.35 元

內容提要

本書由三部分組成。第一部分是天線的基本理論，包括天線的方向性、阻抗和接收天線的理論等三章。第二部分是電波傳播，包括表面波、天波、空間波、散射波和各波段電波傳播的特點等五章。第三部分是各波段的天線，包括長中波天線、短波天線、超短波天線和微波天線等四章。在每一章之後有若干習題。

第一部份里講解了綫式天線的基本原理，收發天線的共同特性和不同要求，以及各種質量指標和參量的計算，為學習電波發射和傳播打下基礎。第二部份里，分別講解各種電波傳播方式的規律和特點，最後把電波波段劃分與各波段電波傳播的特點做了總結性的說明。第三部份里，在長、中波天線中，着重講解頂負載型的天線和抗衰落天線；短波天線中着重介紹同相水平天線、籠式天線、菱形天線和魚骨形天線；超短波天線中，介紹了平衡器的原理和一些新式平衡器、折合振子、旋轉場天線原理和電視天線，最後對對數周期天線作了簡單介紹；微波天線中，首先介紹了面式天線的分析方法和惠更斯原理，並講解了喇叭天線、拋物面天線、喇叭——拋物面天線和滑望鏡天線的工作原理和設計方法。

本書是高等學校無線電專業的教學用書，也可以供有關工程技術人員參考。

序　　言

本书內容分为三部分：第一編是天綫的基本理論；第二編是電波传播；第三編是各波段的天綫。在學過電磁場和傳輸綫的理論之後，先學天綫的基本理論再學電波传播比較容易接受。在學過電波传播以及各波段電波传播的特点之后再學各波段的天綫，可以把天綫和電波传播緊密地結合起來。

为了培养同学的实际工作能力；除了加强實驗、科研与制作等环节外，在課本中增加了天綫的設計、調整和測試等內容，并選用了約40个习題。在散射波传播一章中，簡要地介紹了散射的理論和传播特性。此外还簡要地介紹了个別新式天綫和平衡器的基本特性。

与這門課直接銜接的先修課是“無線電基础”和“電磁場理論及微波技术”。

本书原稿是北京邮电学院天綫教研組于1960年教學改革中师生结合編写的講义，并經教研組結合教學实践于1961年加以修訂。本书是在北京邮电学院負責主持下，經邮电学院天綫及電波传播教材选編組以上述原稿为基础进行审校，作为通信类专业的教學用书。

参加原稿編写的北京邮电学院教研組教師是：楊淵、席允闇、云大年、董維仁等同志。

参加审校的教材选編組成員是北京邮电学院教師楊淵、重庆邮电学院教師孙仁琦和武汉邮电学院教師崔政伟等同志。参加本書繪圖、繕稿等工作的还有北京邮电学院工程画教研組教師和同學。參加本書校对工作的还有北京邮电学院的一部分同学。

由于經驗不足、审編時間短促等原因，本書內容难免有不够完善甚至錯誤之处。希望讀者，特別是使用本書的教師和同學积极提出批評和改进意見，以便今后修訂提高。

1961年5月

緒論

在进行无线电通信或广播时，必须把信号用发射天线以电磁波的形式辐射出去，电磁波经过一定方式的传播之后，在接收端用接收天线再将信号接收下来，其工作情况可以用下面的方框图(图1)来表示。

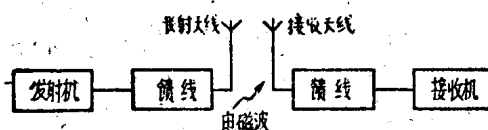
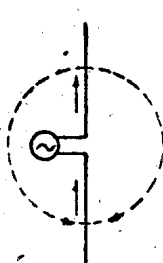


图1

发射天线是一种将高频已调电流的能量变为电磁波的能量，并将电磁波辐射到预定方向的装置。接收天线则是一个将无线电波的能量变为高频电流能量，同时还能分辨出由预定方向传来的电磁波的装置。

最简单的天线是对称振子。这种天线，可以理解为是张开了的终端开路的二线传输线，如图2所示，这种天线的定向辐射能力有限，为了达到预期的辐射要求(如强定向辐射)，必须组成特殊的天线结构形式。



由于无线电技术的广泛应用，因而使天线技术得到飞跃的发展，出现了各种形式的天线。

按照天线外形的不同，天线可分成线式天线与面式天线。通常线式天线应用于波长较长的长、中、短波和超短波波段，如对称振子和菱形天线等，如图3(a)、(b)所示；面式天线则应用于微波中，如抛物面天线和喇叭天线等，如图3(c)、(d)所示。线式天线又可按照天线上电流分布情

图2

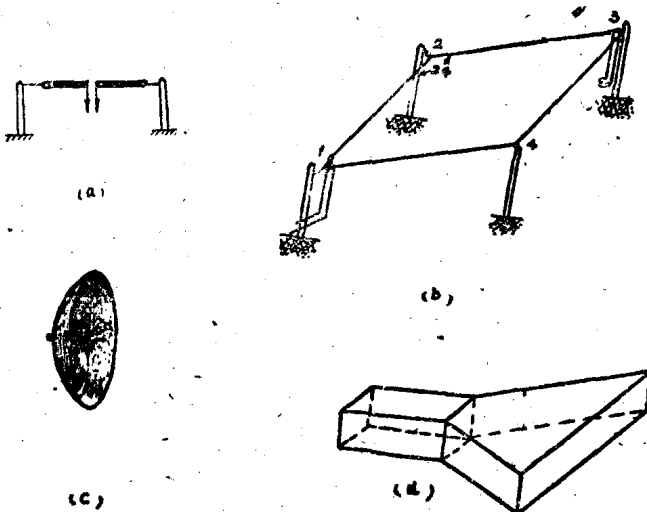


图 3

况，分为驻波天线和行波天线。所谓驻波天线是天线电流分布是驻波状态的，而行波天线则是天线电流分布是行波状态的。此外，尚有其他的分类方法，如根据方向性的强弱分为强方向性天线和弱方向性天线等等。

天线离开发射机或接收机往往有相当远的距离（尤其是在大型电台天线很多时），在天线与发射机或接收机之间需要用馈线联结。不論是发射天线的馈线或接收天线的馈线都要求它与天线匹配好，传输效率高。但是对发射天线的馈线和接收天线的馈线，分别又有不同的要求。对于发射天线的馈线来说，要求能量在馈线上传送时不产生辐射，以免影响天线的方向性。在发射功率大时，还要考虑馈线上的过压問題。对于接收天线的馈线，则希望不从馈线上接收信号，否则将会增加杂音接收和破坏天线的方向性。

无线电波是通过发射天线与接收天线之间的媒质进行传播的。无线电波通过媒质时要引起衰减，这种衰减的大小与媒质的性质和电波的频率都有密切的关系。学习电波传播就是要掌握有关这方面

的規律，以便選擇最佳的工作頻率和最合适的電波传播途径。電波从发射天綫发出之后，可能沿着不同的路径到达接收点。電波传播可以有下列几种传播方式：

(1) 表面波传播方式，就是電波沿着地球表面到达接收点的传播方式，如图 4(a)所示。電波在地球表面上传播，以繞射方式可以到达視綫范围之外。地面对表面波有吸收作用，吸收的强弱与電波的頻率、地面的性质等因素有关。

(2) 天波传播方式，就是自发射天綫发出的电磁波，在高空被电离层反射回来而到达接收点的传播方式，如图 4(b)所示。电离

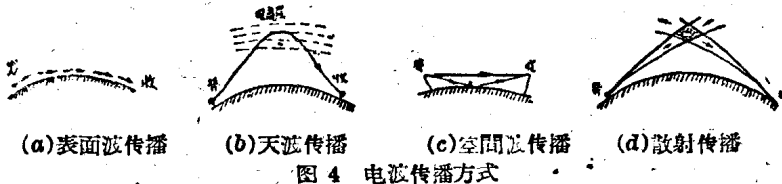


图 4 电波传播方式

层对电磁波除了具有反射作用之外，还有吸收能量与引起信号畸变等作用。其作用强弱与电磁波頻率及电离层变化規律有关。

(3) 空間波传播方式，就是電波一方面从发射天綫直接传播到接收天綫，另一方面經過地面反射之后到达接收点的传播方式，如图 4(c)所示。这种传播方式一般限于視綫范围之内，故通常应用这一传播方式时天綫都架得很高。

(4) 散射传播，就是利用大气对流层和电离层中的不均匀性来散射電波，以达到視綫范围以外的地方，如图 4(d)所示。

在掌握了天綫的理論和各种方式的电波传播規律之后，我們就可以根据实际要求，选择工作頻率，确定電波的主要传播方式，計算其在媒質中的損耗，設計最好形式的天綫，估算需要的发射功率等，作好这一系列工作，是一切无线电通信和广播系統能够圓滿地进行工作的保証，这就說明了我們學習天綫和电波传播时必須理論联系实际的重要性。

目 录

序 言 緒 論

第一編 天線的基本理論

第 一 章 天線的方向性

§ 1.1 引言	(1)
§ 1.2 对称振子的辐射場	(2)
§ 1.3 对称振子的方向性	(5)
§ 1.4 辐射功率与辐射电阻	(8)
§ 1.5 天線的特性参数	(11)
§ 1.6 二元振子系的方向性	(15)
§ 1.7 地面对天線方向性图的影响	(23)
§ 1.8 振子系的方向性	(30)

第 二 章 天線的阻抗

§ 2.1 引言	(39)
§ 2.2 用等效传输線法求对称振子的輸入阻抗	(40)
§ 2.3 用感应电势法求振子的阻抗	(44)
§ 2.4 用等效传输線法求振子系的輸入阻抗	(50)
§ 2.5 地面对天線阻抗的影响	(50)
§ 2.6 阻抗計算举例	(52)

第 三 章 接收天線理論

§ 3.1 引言	(55)
§ 3.2 接收天線的方向性和阻抗	(56)
§ 3.3 接收天線的等效电路	(60)
§ 3.4 接收天線的特性参数	(64)
§ 3.5 对接收天線的特殊要求	(65)

第二編 电波傳播

第 四 章 表面波傳播	(67)
§ 4.1 表面波的传播特性	(67)
§ 4.2 垂直接地天綫的輻射場	(71)
§ 4.3 表面波在两种性质的地平面上的传播	(77)
§ 4.4 天綫場地的性质对电波传播的影响	(80)
第 五 章 天波傳播	(82)
§ 5.1 电离层的形成、結構与变化	(82)
§ 5.2 平面波在均匀电离气体中的传播	(87)
§ 5.3 电波在电离层中的传播	(93)
§ 5.4 电离层的等效高度和实际高度	(99)
§ 5.5 通信线路上的最高可用頻率和最佳工作頻率	(102)
§ 5.6 接收点場強計算	(117)
第 六 章 空間波傳播	(123)
§ 6.1 引言	(123)
§ 6.2 理想情况下空間波場強的計算	(124)
§ 6.3 地球曲率对空間波传播的影响	(129)
§ 6.4 地質、地形对空間波传播的影响	(133)
§ 6.5 气象条件对空間波传播的影响	(135)
第 七 章 散射波的傳播	(138)
§ 7.1 引言	(138)
§ 7.2 对流层散射传播的物理过程	(140)
§ 7.3 对流层散射信号的一般特性	(146)
§ 7.4 电离层散射	(156)
§ 7.5 散射通信和微波中繼通信系統的比較	(158)
第 八 章 各波段的电波傳播	(160)
§ 8.1 引言	(160)
§ 8.2 长波传播的特点	(160)
§ 8.3 中波传播的特点	(161)
§ 8.4 短波传播的特点	(165)

- § 8.5. 超短波傳播的特點 (169)
 § 8.6 干擾 (170)

第三編 各波段的天綫

- 第九章 長、中波天綫 (174)**
- § 9.1 引言 (174)
 - § 9.2 頂負載天綫 (175)
 - § 9.3 中波天綫的特性和參數 (177)
 - § 9.4 抗衰落天綫 (180)
 - § 9.5 中波天綫的饋電、地網和測試調整 (182)
- 第十章 短波天綫 (186)**
- § 10.1 引言 (186)
 - § 10.2 水平偶極天綫 (186)
 - § 10.3 同相水平天綫 (189)
 - § 10.4 菱形天綫 (194)
 - § 10.5 魚骨形天綫 (203)
 - § 10.6 短波天綫的饋電與調整測試 (209)
- 第十一章 超短波天綫 (214)**
- § 11.1 引言 (214)
 - § 11.2 平衡器 (215)
 - § 11.3 折合振子 (219)
 - § 11.4 超短波天綫陣 (222)
 - § 11.5 電視天綫 (223)
 - § 11.6 其他形式的超短波天綫 (230)
- 第十二章 微波天綫 (238)**
- § 12.1 引言 (238)
 - § 12.2 惠更斯原理 (239)
 - § 12.3 喇叭天綫 (244)
 - § 12.4 扔物面天綫 (257)
 - § 12.5 喇叭——拋物面天綫 (267)
 - § 12.6 潛望鏡天綫 (271)

附 录

- 附录一：对称振子的輸入阻抗曲綫圖 ······ (279)
附录二：二平行半波振子的互阻抗曲綫圖 ······ (281)
附录三：二平行对称振子的互阻抗曲綫圖 ······ (289)

第一編 天綫的基本理論

第一章 天綫的方向性

§ 1.1 引 言

在無線電通信中，例如北京和莫斯科通信，總是希望發射天綫能將它的大部能量向一定的方向（如由北京向莫斯科）輻射而不希望向其它方向輻射。因為這樣就可以節省功率，從而提高設備的利用率。這就是說，在無線電通信中，總希望發射天綫在向空間輻射電磁波時，具有一定的方向性。

對接收天綫而言，就希望它只能很靈敏地接收從某一個方向傳來的電磁波，而很少接收從其它方向傳來的電磁波。因為這樣就減少了從其它方向來的干擾信號進入接收機，從而降低了噪音電平，提高了通信質量。所以在通信中也希望接收天綫在接收空間各個方向傳來的電磁波時具有一定的方向性。

在實際應用中，我們既需要方向性強的天綫，但有時也需要弱方向性的天綫。如廣播中為完成對某一地區的服務就需要弱方向性的發射天綫。

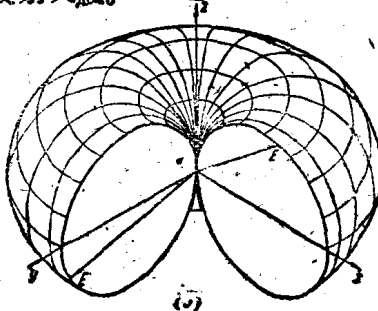


圖 1.1 赫茲偶極子的方向性圖

絕對的無方向性的天綫（即各方向輻射電磁波的能力完全一樣的）實際上是不存在的。就連赫茲偶極子也是具有方向性的，它向空間輻射電磁能的情況如圖 1.1 所示。可見它在沿 z 軸方向沒有輻射，而在 x y 面內却有最大輻射。但

是在研究問題时，为了便于比較，无方向性天綫这个概念还是要時常用到的，不过應該指出，它完全是假想的。

天綫的方向性因天綫类型的不同而不同，它的图形是各式各样的，对其研究的方法一般是通过場强的計算来进行。本章就是通过計算場强来研究对称振子和由它組成的振子系的方向性，从而掌握对天綫方向性这一問題的一般分析方法。

§ 1.2 对称振子的辐射場

天綫的方向特性可以由天綫所辐射的電場來求得。所謂对称振子就是在中点断开并接以饋电的导綫。它通常可以作为独立的天綫或用来組成各式各样的复杂天綫。为了求得各式各样天綫的方向性，就須首先求出对称振子的辐射場。

对称振子的辐射場，决定于其上的电流分佈，这可根据馬克斯威尔(Maxwell)方程和边界条件来严格求解。但是这个方法很复杂，因此工程中常采用近似的方法来計算。

这个近似方法是：把对称振子看成是由一对开路传输綫两臂向外张开而得来的，但其上的电流分佈却假設仍和张开前一样，然后将振子分成許多小段，每一小段上的电流在某一瞬間可認為是各处相同，也就是可以把每一小段当作一个基本振子，于是空間任一点的場强就是由这許多基本振子所产生的場强的迭加。下面便进行具体計算。

如图(1.2)所示，設开路传输綫上电流按正弦律分佈：

$$I_x = I_a \sin \alpha \quad (1.1)$$

其中 I_a 为波腹处的电流，亦称波腹

电流，

α 为綫上某点至終端的距离，

$$\alpha = \text{相移常数} = \frac{2\pi}{\lambda}$$

把传输綫张开后便成为图(1.3)所

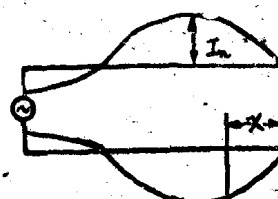


图 1.2 开路传输綫上电流分佈

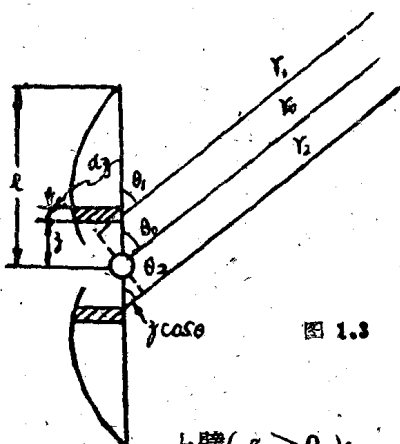


图 1.3

示的形状，即为一对称振子。设振子每一臂的长度为 l ，取一坐标轴和振子重合，原点为中点（即为馈电点），振子的正方向为从振子的下臂至上臂的方向，则由（1.1）式可得振子上的电流分布，如图（1.3）所示：

$$\left. \begin{array}{l} \text{上臂} (z > 0): \quad I_s = I_n \sin \alpha (l - z) \\ \text{下臂} (z < 0): \quad I_s = I_n \sin \alpha (l + z) \end{array} \right\} \quad (1.2)$$

设将振子分成许多小单元，每一小单元为 dz 。由电磁场理论知道，由这一单元电流 $I_s dz$ 产生的辐射场为：

$$dE_\theta = j \frac{60\pi I_s dz}{r \lambda} \sin \theta e^{-j\alpha r} \quad (1.3)$$

其中 r 为由观察点至单元电流 $I_s dz$ 的距离， θ 为射线与振子轴的夹角。

将（1.2）式代入，得振子上坐标为 z 处的单元电流 $I_s dz$ 的辐射场为：

$$\left. \begin{array}{l} dE_{\theta \text{ 上}} = j \frac{60\pi I_n \sin \alpha (l - z)}{r_1 \lambda} \sin \theta e^{-j\alpha r_1} \\ dE_{\theta \text{ 下}} = j \frac{60\pi I_n \sin \alpha (l + z)}{r_2 \lambda} \sin \theta e^{-j\alpha r_2} \end{array} \right\} \quad (1.4)$$

总场强可看成为这许多单元电流所产生的辐射场迭加的结果，即：

$$\begin{aligned} E_\theta = & \int_0^l \frac{j60\pi I_n \sin \alpha (l - z)}{\lambda r_1} \sin \theta e^{-j\alpha r_1} dz \\ & + \int_{-l}^0 \frac{j60\pi I_n \sin \alpha (l + z)}{\lambda r_2} \sin \theta e^{-j\alpha r_2} dz \end{aligned} \quad (1.5)$$

当考虑远区场， r_0 值很大，亦即 $r_0 \gg \frac{\lambda}{2\pi}$ 时，在上式的振幅因子中可假定其分母的 $r_1 = r_2 = r_0$ ，但在相位因子中，不能以 r_0 代替 r_1 与 r_2 ，因为 r_1 与 r_2 和 r_0 相差虽不大（相对于 r_0 而言），但它引起的相位差 $\propto (r_1 - r_0)$ 与 $\propto (r_2 - r_0)$ 却可能很大。

由图(1.3)得（我们認為 $\theta_1 = \theta_2 = \theta_0 = \theta$ ）：

$$r_1 = r_0 - z \cos \theta \quad (z > 0)$$

$$r_2 = r_0 - z \cos \theta \quad (z < 0)$$

所以(1.5)式可写成：

$$E_\theta = \frac{j60\pi I_n}{r_0 \lambda} e^{-j\alpha r_0} \sin \theta \left[\int_0^l \sin \alpha(l-z) e^{j\alpha z \cos \theta} dz + \int_{-l}^0 \sin \alpha(l+z) e^{j\alpha z \cos \theta} dz \right].$$

积分后得：

$$E_\theta = j \frac{60 I_n}{r_0} \left[\frac{\cos(\alpha l \cos \theta) - \cos \alpha l}{\sin \theta} \right] e^{-j\alpha r_0} \quad (1.6)$$

从(1.6)式可見对称振子的辐射场是有方向性的。

无论是实验或严格的分析都証明，上面的計算方法只要振子够細时是足够准确的。

用(1.6)式虽可以表示振子的方向性，但还不明显，故一般常用方向性图来表示。用方向性图可以直接看出各个方向上场强的相对大小。

如图(1.4)所示，将天綫置于原点，则在 r 为常数的球面上，各处场强将只与方向有关，而与 r 无关；我們再向各方向作出射綫，取其长度与场强成比例，即得一立体图形，也就是立体方向性图。如前一节中图(1.1)所示的，即为基本振子的立体方向性图。但經常使用的却是平面上的方向性图，它有两种，一种是赤道面內的方向性图，所謂赤道面即是与振子轴垂直的平面；另一种是子午面內的

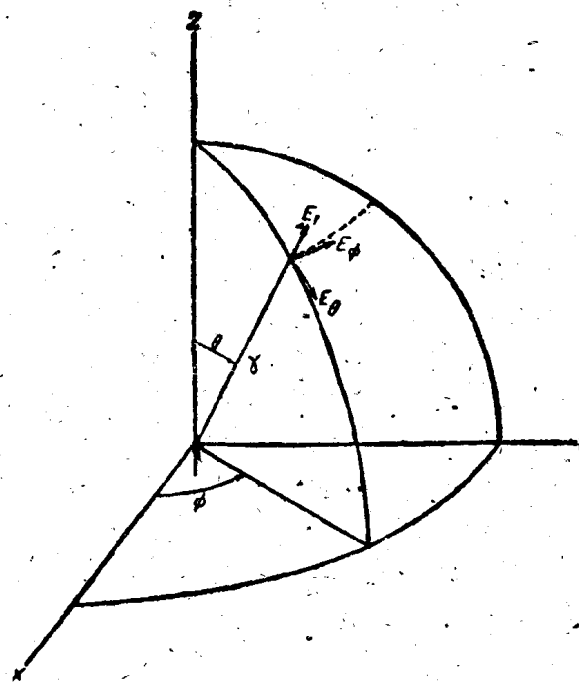


图 1.4

方向性图，所謂子午面即是通过振子軸的平面。关于对称振子的在这两个平面上的方向性图，下一节将要討論。

§ 1.3 对称振子的方向性

由上节的討論得知：对称振子在各方向場强的分佈是不均匀的，也就是说天綫具有方向性，其方向性前已指出可由方向性图方便地表示出来。

I. 方向性函数与方向性图

将(1.6)式略去相位因子可写成如下形式：

$$E = \frac{60 I_n}{r} F(\theta, \varphi) \quad (1.7)$$